

## تهیه و شناسایی کاتالیست گرافن اکسید پیوندشده به کمپلکس مس-متفورمین و بررسی رفتار کاتالیستی آن در تهیه مشتق‌های تراهیدروپیریدین در شرایط ملایم

ملیکا افتخار\*

استادیار شیمی آلی، گروه شیمی، دانشگاه آزاد اسلامی واحد قشم، قشم، ایران

دریافت: بهمن ۹۸ بازنگری: فروردین ۹۹ پذیرش: اردیبهشت ۹۹

### چکیده

در این پژوهش، در ابتدا صفحه‌های گرافن اکسید از گرافیت به روش هامر ساخته شد. سپس، مولکول متفورمین با پیوندهای کوالانسی بین گروه‌های آمینی متفورمین و گروه‌های کربونیل گرافن اکسید به سطح گرافن اکسید تهیه شده متصل شد. همچنین، مس به نیتروژن‌های مولکول متفورمین کثوردینه و کمپلکس مس-متفورمین گرافن اکسید تهیه شد. این کاتالیست با روش‌های پراش پرتو ایکس (XRD)، طیف‌شناسی فروسرخ تبدیل فوریه (FTIR)، تجزیه عنصری با روش طیف‌سنجدی نشری پلاسمای جفت شده القایی (ICP-OES)، تجزیه وزن‌سنجدی گرمایی (TGA)، میکروسکوپی الکترونی عبوری (TEM) و طیف‌شناسی تفکیک انرژی (EDS) شناسایی شد که نتیجه‌های بدست آمده، پیوند موقوفیت‌آییز این کمپلکس را بر بستر گرافن اکسید تایید کردند. فعالیت کاتالیست تهیه شده در واکنش تهیه مشتق‌های تراهیدروپیریدین از راه واکنش آریل آلدیدها، آریل آمین‌ها و انتیل استواتات مورد بررسی قرار گرفت. این واکنش‌ها در زمان کم با بازده بالا در حضور کاتالیست تهیه شده جدید، انجام شد. پس از چند بار واکنش در حضور این کاتالیست، کاهش قابل توجهی در فعالیت آن و یا فروشوبی مس مشاهده نشد.

**واژه‌های کلیدی:** گرافن اکسید، مس، کمپلکس، تراهیدروپیریدین، کاتالیست ناهمگن

### مقدمه

کنار یکدیگر قرار گرفته‌اند. گرافن، یک، دو و چند لایه دارد که هریک ویژگی و همچنین، کاربردهای خود را دارند [۲]. از ویژگی‌های دیگر گرافن که بهشت مورد توجه است، به عبارت ویژگی‌های رسانایی، گرمایی و الکتریکی آن است. به عبارت دیگر، گرافن رسانایی خیلی خوبی برای گرما و الکتریسیته است، به همین دلیل می‌تواند جایگزین مناسبی برای فلز مس در صنعت الکتریکی و گرمایی باشد [۳ تا ۵]. با اکسایش

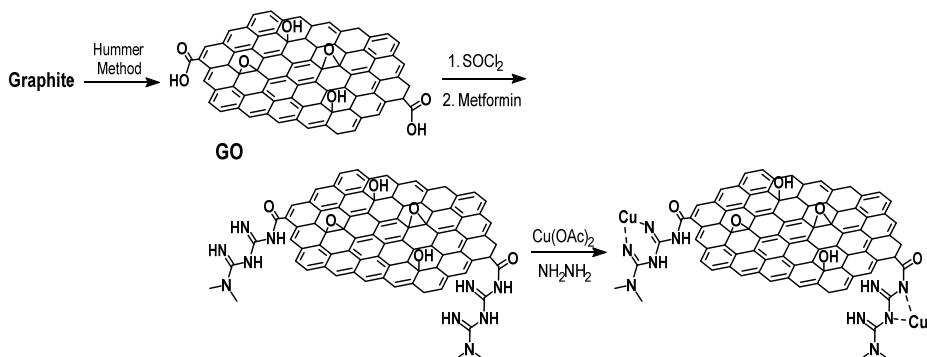
گرافن یک ماده شگفت‌انگیز و خالص است که به دلیل ساختار ساده و منظم (برخاسته از چیدمان منظم تنگاتنگ اتم‌های کربن) ویژگی‌های بی‌همتا و قابل توجهی دارد که هر یک می‌تواند انقلابی بزرگ در حوزه‌های متفاوت علم و صنعت ایجاد کند [۱]. گرافن ساختاری دو بعدی و یک شبکه شش ضلعی از اتم‌های کربن است که با پیوند کوالانسی در

$[\text{PySO}_3\text{H}][\text{HSO}_4]$  پیریدینیم هیدروژن سولفات،  $\text{FeCl}_3/\text{SiO}_2$ ،  $\text{TiCl}_4/\text{SiO}_2$ ،  $\text{Al}_2\text{O}_3/\text{BF}_3/\text{Fe}_3\text{O}_4$ ،  $\text{PbCr}_x\text{Fe}_{12-x}\text{O}_{19}$ ،  $\text{MgFe}_2\text{O}_4/\text{Cellulose}/\text{SO}_3\text{H}$  سریم آمونیم نیترات (CAN) و  $\text{Fe@Si-Gu-Prs}$  گزارش شده است [۲۳ تا ۳۳]. این روش‌ها مزایایی دارند، ولی متأسفانه معایی مانند، شرایط ناسازگار با محیط‌بیست و سخت، بازده کم، زمان‌های طولانی و استفاده از حلال‌های سمی و غیرسبز دارند که ارایه روش‌های ملایم و سازگار با محیط‌بیست و سبز هنوز نیز توصیه می‌شود.

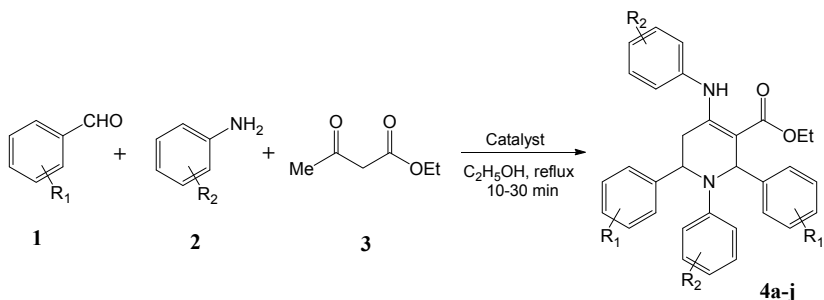
در این مطالعه، در ابتدا صفحه‌های گرافن اکسید از گرافیت ساخته شد و سپس مولکول متوفورمین با پیوندهای کوالانسی به گرافن اکسید متصل و در پایان مس به نیتروژن‌های مولکول متوفورمین کثوردینه شد. پس از کاهش مس، کمپلکس مس-متوفورمین گرافن اکسید تهیه شد (شکل ۱). پس از شناسایی کامل ساختار کاتالیست، فعالیت کاتالیستی آن در واکنش تهیه مشتقات تتراهیدروپیریدین با واکنش آریل آلدیدها، آریل آمین‌ها و اتیل استواتستات مورد بررسی قرار گرفت (شکل ۲). با توجه به بررسی‌های کامل ما، تاکنون پژوهشی منبی بر تهیه مشتقات تتراهیدروپیریدین با کمپلکس مس-متوفورمین گرافن اکسید گزارش نشده است.

گرافن با اکسندهای سنتی، گروه‌های عاملی مانند هیدروکسیل و اپوکسید در سطح و کربوکسیل در لبه‌های گرافن به وجود می‌آید که موجب جداشدن و تک لایه‌شدن گرافن می‌شود [۶ تا ۸]. گرافن اکسید به دلیل داشتن گروه‌های عاملی ذکرشده می‌تواند به لیگاندهای آلی و کاتالیست‌ها از راه جذب فیزیکی و پیوندهای شیمیایی متصل شده و به عنوان کاتالیست موثر در تهیه شیمیایی مواد عمل کند [۹ تا ۱۴].

ترکیب‌های ناجورحلقه کاربرد گسترده‌ای در تولید فراورده‌های دارویی، صنایع کشاورزی و دامپزشکی دارند. آن‌ها به عنوان پاداکسایش، پادخوردگی و به عنوان حدواسط‌های آلی نیز کاربرد دارند [۱۵]. در این زمینه، تتراهیدروپیریدین‌ها و مشتق‌های آن‌ها، یکی از ترکیب‌های مفید برای تشکیل هسته بسیاری از فراورده‌های طبیعی و دامنه وسیعی از ترکیب‌های فعال زیستی و دارویی هستند [۱۶]. با توجه به ویژگی‌های گسترده دارویی و زیستی تتراهیدروپیریدین‌ها [۱۷ تا ۱۹]، ارایه روش‌های جدید برای تهیه این ترکیب‌ها از اهمیت ویژه‌ای برخوردار است و توجه زیادی از شیمیدانان آلی و دارویی را به خود جلب کرده است [۲۰ تا ۲۲]. در سال‌های اخیر تهیه مشتق‌های تتراهیدروپیریدین با کاتالیست‌هایی مانند دی‌انابول آمونیم هیدروژن سولفات (DHS)، عصاره لیمو، سولفونیک اسید



شکل ۱ طرحواره تهیه کاتالیست گرافن اکسید عامل‌دار شده با کمپلکس مس-متوفورمین



شکل ۲ طرحواره تهیه مشتق‌های تتراهیدروپیریدین در مجاور کاتالیست گرافن اکسید عامل دارشده با کمپلکس مس-متفورمین

پیوندهای کوالانسی بین گروههای آمینی متغورمین و گروههای کربونیل گرافن اکسید با سطح گرافن اکسید تهیه شده پیوند خوردن [۳۵]. سپس، برای تهیه کمپلکس مس-متغورمین، ۱۰ میلی‌گرم مس استات به ۵۰ میلی‌گرم گرافن اکسید-متغورمین در ۲۰ میلی‌لیتر متابولو در شرایط فراصوت افزوده و مخلوط ۱۲ ساعت بازروانی شد. کاتالیست جامد سیاه رنگ به دست آمده با گریزانه با دور rpm ۸۰۰۰ در مدت ۲۰ دقیقه جدا و برای حذف مس استات باقی‌مانده، چند بار با آب شسته شد. سپس، ۱۲ ساعت در آون خلاً برای خشک شدن قرار گرفت. برای کاهش مس (II) به مس (0)، ۱۰۰ میکرولیتر هیدرازین هیدرات ۸۰ درصد را به ۲۰ میلی‌گرم مخلوط کمپلکس مس-متغورمین پیوند خورده به گرافن اکسید و ۶۰ میلی‌لیتر آب افزوده و مقداری آمونیم هیدروکسید ۲۵ درصد برای تنظیم pH در ۱۰، به مخلوط افزوده شد. سپس، مخلوط برای ۲ ساعت در دمای  $100^{\circ}\text{C}$  بازروانی شد. کاتالیست به دست آمده، با گریزانه جدا و چند بار با آب شسته و سپس به مدت ۱۲ ساعت در آون خلاً برای خشک شدن قرار گفت.

روش عمومی تهییه مشتق های تتر ااهیدر و پیریدین  
در حضور کاتالیست در این روش، مخلوطی از ۲ میلی مول آریل الدهید، ۲ میلی مول آریل آمین، ۱ میلی مول اتیل استوئاستات و ۱۵ مم. د. صد کاتالیست در یک بالن، دیخته و

بخش تجربی

مواد و دستگاه‌ها

مواد شیمیایی و حلال‌های مورد استفاده در این پژوهش از شرکت مرک خریداری و بدون تعییر یا خالص‌سازی بیشتر استفاده شدند. نقطه ذوب فراورده با دستگاه FTIR Electrothermal 9100 با طیف‌سنج فروسرخ تبدیل فوریه Avatar 370 FTIR ثبت شدند. طیف‌های Therma Nicolet Spectrometer H-NMR و C-NMR با دستگاه رزونانس مغناطیسی Bruker AC, 400 MHz میکروسکوپ Zeiss عبوری مدل (TEM) Leo912AB(120kV) نمونه تهیه شده و میکروسکوپ الکترونی پویشی مدل S4160 Hitachi ساخت ژاپن مجهز به دستگاه TESCAN VEGA3LMU برای تجزیه عنصری نمونه‌ها با روش طیف‌سنجی تفکیک انرژی (EDS) به کار گرفته شد. تجزیه عنصری نمونه‌ها نیز با روش پلاسمای جفت‌شده (ICP) با دستگاه مدل VISTA-PRO از شرکت اواریان، انعام شد.

روش تهیه کاتالیست

در ابتدا صفحه‌های گرافن اکسید از گرافیت با روش هامر ساخته شد [۳۴] و سپس مولکول‌های متغورمین با

اتانول، بلورهای فراورده با بازده بالا به دست آمدند و با روش-FTIR، NMR و تعیین نقطه ذوب شناسایی شدند تا از ساخت و خلوص فراورده اطمینان به دست آید.

در حلال اتانول و شرایط بازروانی هم زده شد. انجام واکنش با سوانگاری لایه نازک بررسی شد. پس از کامل شدن واکنش، کاتالیست با گریزانه جدا شد. از بلوری شدن دوباره محلول با

## نتیجه‌ها و بحث

داده‌های طیفی برخی از فراورده‌های به دست آمده

### ترکیب جامد سفید 4b (جدول ۲)

اتیل ۱-(۳-یدوفنیل)-۴-(۳-یدوفنیل)آمینو-۶-دیفنیل-۱،۲،۵،۶-تتراهیدروپیریدین-۳-کربوکسیلات

FTIR (KBr): 3251, 3056, 2966, 2855, 1651, 1595, 1448, 1372, 1252, 1071 cm<sup>-1</sup>; <sup>1</sup>H NMR (400 MHz, CDCl<sub>3</sub>) δ: 1.53 (t, J = 7.0 Hz, 3H, CH<sub>3</sub>CH<sub>2</sub>), 2.72 (dd, J = 14.0, 2.0 Hz, 1H, H'-5), 2.84 (dd, J = 14.4, 5.4 Hz, 1H, H''-5), 4.30-4.33 (m, 1H, OCH<sub>a</sub>H<sub>b</sub>), 4.40-4.48 (m, 1H, OCH<sub>a</sub>H<sub>b</sub>), 5.08-5.18 (m, 1H, H-6), 6.26-6.33 (m, 1H, ArH), 6.37 (s, 1H, H-2), 6.49 (m, 1H, ArH), 6.63 (t, J = 7.0 Hz, 2H, ArH), 6.76 (t, J = 7.5 Hz, 1H), 6.85 (d, J = 7.2 Hz, 2H, ArH), 6.94 (d, J = 6.0 Hz, 1H, ArH), 7.15-7.29 (m, 9H, ArH), 7.43 (d, J = 6.8 Hz, 1H, ArH), 10.29 (s, 1H, NH) ppm; <sup>13</sup>C NMR (100 MHz, CDCl<sub>3</sub>) δ: 16.0, 34.6, 56.3, 59.3, 61.2, 95.1, 96.6, 99.9, 113.5, 122.7, 126.3, 126.5, 127.3, 127.3, 127.6, 127.8, 128.8, 129.6, 130.2, 131.5, 135.5, 136.1, 140.2, 142.9, 144.2, 149.3, 156.4, 169.3 ppm; MS (EI, 70 eV): m/z = 726 [M<sup>+</sup>].

### ترکیب جامد سفید 4d (جدول ۲)

اتیل ۱-(۴-بروموفنیل)-۴-(۴-بروموفنیل)آمینو-۶-بیس(۴-متوكسی فنیل)-۱،۲،۵،۶-تتراهیدروپیریدین-۳-کربوکسیلات

FTIR (KBr): 3239, 3064, 2979, 2834, 1647, 1603, 1462, 1370, 1248, 1068 cm<sup>-1</sup>; <sup>1</sup>H NMR (400 MHz, CDCl<sub>3</sub>) δ: 1.47 (t, J = 8.0 Hz, 3H, CH<sub>3</sub>CH<sub>2</sub>), 2.70 (dd, J = 15.4, 2.7 Hz, 1H, H'-5), 2.83 (dd, J = 15.4, 5.6 Hz, 1H, H''-5), 3.79 (s, 6H, OCH<sub>3</sub>), 4.27-4.35 (m, 1H, OCH<sub>a</sub>H<sub>b</sub>), 4.42-4.49 (m, 1H, OCH<sub>a</sub>H<sub>b</sub>), 5.04 (s, 1H, H-6), 6.20 (d, J = 6.0 Hz, 2H, ArH), 6.29 (s, 1H, H-2), 6.39 (d, J = 6.80 Hz, 2H, ArH), 6.76-6.88 (m, 5H, ArH), 7.04-7.24 (m, 7H, ArH), 10.26 (s, 1H, NH) ppm; <sup>13</sup>C NMR (100 MHz, CDCl<sub>3</sub>) δ: 15.9, 34.7, 55.8, 56.4, 56.5, 58.8, 61.1, 100.2, 109.5, 114.8, 115.3, 115.8, 120.3, 128.3, 128.5, 128.7, 132.7, 133.1, 135.1, 136.2, 138.2, 147.1, 156.5, 159.4, 160.1, 169.3 ppm; MS (EI, 70 eV): m/z = 692 [M<sup>+</sup>].

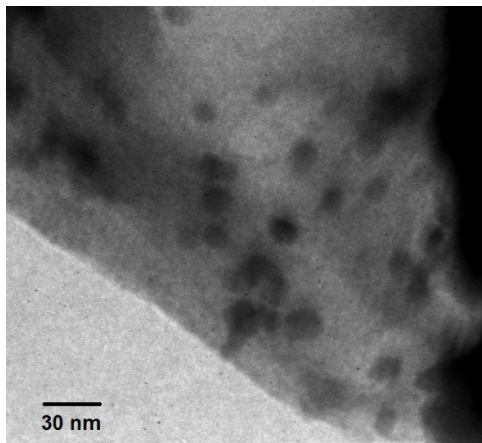
### ترکیب جامد سفید 4f (جدول ۲)

اتیل ۲،۶-بیس(۴-کلروفنیل)-۱-(پارا-تولیل)-۴-(پارا-تولیل آمین)-۶-تتراهیدروپیریدین-۳-کربوکسیلات

FTIR (KBr): 3244, 3035, 2978, 2917, 2855, 1654, 1594, 1516, 1485, 1254, 1175, 1074 cm<sup>-1</sup>; <sup>1</sup>H NMR (400 MHz, CDCl<sub>3</sub>) δ: 1.48 (t, J = 6.8 Hz, 3H), 2.19 (s, 3H), 2.31 (s, 3H), 2.71 (dd, J = 2.4, 15.2 Hz, 1H), 2.78 (dd, J = 5.2, 15.2 Hz, 1H), 4.30-4.38 (m, 1H), 4.41-4.49 (m, 1H), 5.08 (br s, 1H), 6.30 (t, J = 8, 11.2 Hz, 3H), 6.40 (d, J = 8.8 Hz, 2H), 6.90 (d, J = 8.4 Hz, 2H), 6.98 (d, J = 8 Hz, 2H), 7.07 (d, J = 8.4 Hz, 2H), 7.24-7.29 (m, 6H), 10.23 (br s, 1H) ppm; <sup>13</sup>C-NMR (100 MHz, CDCl<sub>3</sub>) δ: 14.8, 20.1, 20.9, 33.6, 54.9, 57.3, 59.7, 97.3, 113.0, 125.8, 127.8, 128.1, 128.3, 128.7, 129.6, 132.0, 132.7, 135.0, 135.9, 141.2, 142.8, 144.4, 156.2, 168.0 ppm; MS (EI, 70 eV): m/z = 571 [M<sup>+</sup>].

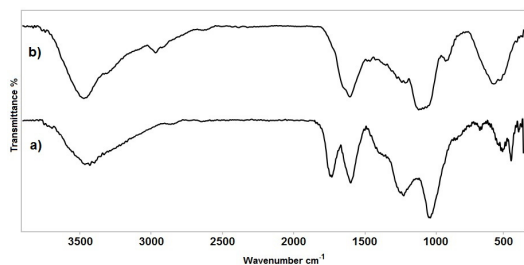
ارتعاش‌های کششی پیوند C-H لیگاند متفورمین است (شکل ۳).

تصویر میکروسکوپی الکترونی TEM و طیف EDS در تصویر TEM کاتالیست تهیه شده (شکل ۴)، مشاهده می‌شود که کاتالیست سطحی یکنواخت دارد و از صفحه‌هایی با مقیاس حدود یک میکرومتر و تک لایه تشکیل شده است. همچنین، نقاط سیاه رنگ روی صفحه گرافن، نشان‌می‌دهد تشکیل کمپلکس مس-متفورمین با موقیت انجام شده است. برای بررسی ترکیب عنصری کاتالیست تهیه شده، تجزیه عنصری (با روش EDS) به کار گرفته شد. طیف مربوط حضور عناصر کربن، نیتروژن، اکسیژن و مس را نشان می‌دهد که با ساختار شیمیایی کاتالیست همخوانی دارد (شکل ۵). همچنین، عدم وجود عنصر کلر در این طیف، نشان‌دهنده کاهش موفق مس (II) به مس (0) است.



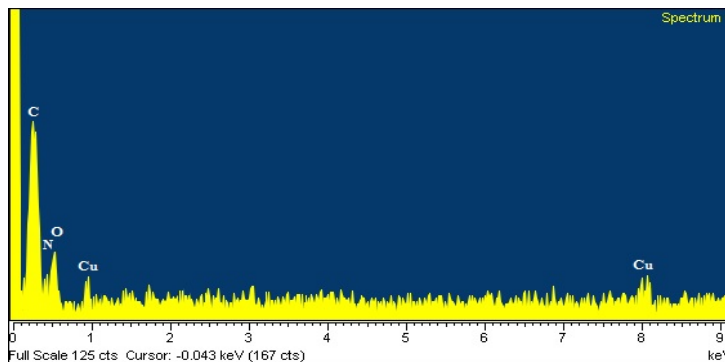
شکل ۴ تصویر TEM کاتالیست تهیه شده

بررسی طیف‌های FTIR نمونه‌ها برای بررسی ساختار شیمیایی نانوکاتالیست و اثبات عامل دارشدن سطح گرافن اکسید با کمپلکس مس-متفورمین، طیف FTIR نمونه‌ها گرفته شد. طیف FTIR مربوط به بستر گرافن اکسید (شکل ۳(a)) یک نوار جذبی پهن در ناحیه  $3405\text{ cm}^{-1}$  نشان می‌دهد که مشخصه ارتعاش کششی پیوند O-H گروه‌های هیدروکسی و کربوکسیلیک اسید سطح گرافن اکسید است.



شکل ۳ طیف‌های FTIR گرافن اکسید (a) و گرافن اکسید پیوند خورده به مس-متفورمین (کاتالیست نهایی) (b)

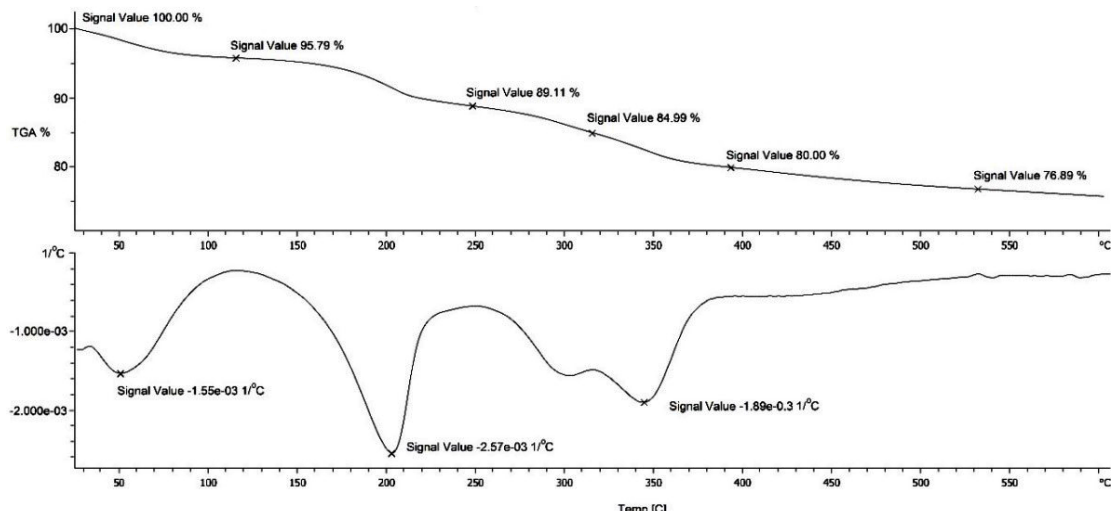
نوارهای جذبی شاخص در  $1222$ ،  $1587$  و  $1716\text{ cm}^{-1}$  مربوط به ارتعاش‌های کششی پیوندهای C=O کربوکسیلیک اسید، C=C حلقه‌های آروماتیک و C-O گروه ایونکسی هستند [۳۵]. پس از عامل دارشدن گرافن اکسید با کمپلکس مس-متفورمین، نوارهای جذبی شاخص به ترتیب در  $3359\text{ cm}^{-1}$  و  $1595\text{ cm}^{-1}$  ظاهر شده‌اند که مربوط به گروه‌های O-H، N-H و C=N هستند. همان‌طور که مشاهده می‌شود ارتعاش کششی پیوند C=O از  $1716\text{ cm}^{-1}$  به  $1595\text{ cm}^{-1}$  منتقل شده است که به دلیل تشکیل پیوند آمیدی روی سطح گرافن اکسید و نشان‌دهنده پیوند موفق متفورمین با بستر گرافن اکسید است. همچنین، پیک‌های ضعیف ظاهر شده در ناحیه  $2930\text{ cm}^{-1}$  مربوط به



شکل ۵ طیف EDS کاتالیست تهیه شده

دماهی ۲۰۰ °C تا ۴۰۰ °C را می‌توان به تجزیه بخش آلی فلزی شامل کمپلکس مس-متفورمین موجود در ساختار نسبت داد (درصد). به دلیل ساختار کربنی بستر، به طور قطع نمی‌توان ادعا کرد که لیگاند آلی در کدام مرحله حذف شده است. اما آنچه واضح است سطح بستر کاتالیست حاوی ترکیبی آلی بوده که از بستر حذف شده است. آخرین افت وزن در ناحیه بیشتر از ۵۰ °C را می‌توان به تخریب بستر گرافن اکسید باقی مانده نسبت داد.

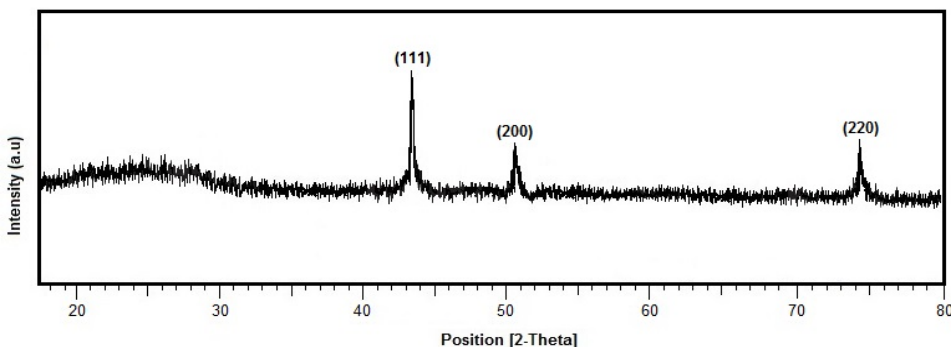
تجزیه وزن سنجی گرمایی (TGA) برای بررسی پایداری گرمایی کاتالیست نهایی به کار گرفته شد. نمودار مربوط چند مرحله کاهش وزن اساسی در ناحیه های ۵۰ °C تا ۵۵۰ °C را نشان می دهد (شکل ۶). کاهش وزن اول تا دماهی ۱۲۰ °C مربوط به حذف آب جذب سطحی شده بر کاتالیست است که حدود ۵ درصد از وزن کاتالیست کاهش یافته است. کاهش وزن در گستره دماهی ۱۲۰ °C تا ۲۰۰ °C را می‌توان به حذف آب باقیمانده و گروههای عاملی بر سطح گرافن، اپوکسی و کربوکسیل، نسبت داد. کاهش وزن در گستره ۲۰۰ °C تا ۵۰۰ °C ناشی از تخریب بستر گرافن اکسید می‌باشد.



شکل ۶ نتیجه تجزیه وزن سنجی گرمایی کاتالیست تهیه شده

نشان دهنده صفحه های گرافن اکسید [۳۵] و پیک های تیز در ناحیه های  $43/7$ ،  $43/3$  و  $50/7$  و  $74/3 = 2\Theta = 74/4$  نشان دهنده فلز مس است [۳۷].

XRD  
پراش پرتو ایکس یا XRD در شکل ۷، الگوی XRD مربوط به گرافن اکسید عامل دارشده با کمپلکس مس-متفورمین مشاهده می شود. در این الگو، برآمدگی به نسبت پهن مشاهده شده در  $2\Theta = 24/4$



شکل ۷ الگوی XRD کاتالیست تهیه شده

کاتالیست به دست آمد (ردیف ۴). مقادیر کمتر کاتالیست منجر به افزایش زمان واکنش و کاهش بازده فراورده شد و افزایش مقدار کاتالیست به ۲۰ مول درصد نیز تاثیر چشمگیری بر افزایش بهره واکنش نداشت. در مرحله بعد، برای دستیابی به دمای بهینه، واکنش مور نظر در دماهای متفاوت انجام و در پایان شرایط بازروانی به عنوان بهترین دما از دید بازده فراورده و زمان واکنش انتخاب شد (ردیف های ۶-۸). پس از به دست آوردن مقدار بهینه کاتالیست و دما، اثر حلال نیز بررسی شد. واکنش در حلال های متفاوت و همچنین، شرایط بدون حلال نیز انجام شد (ردیف های ۹-۱۴). نتیجه ها نشان داد که واکنش در حضور حلال های قطبی بهتر از حلال های غیر قطبی و شرایط بدون حلال انجام می شود. بنابراین، بهترین شرایط، بازروانی اثانول در حضور ۱۵ مول درصد از کاتالیست انتخاب شد (ردیف ۴). در پایان، با توجه به بازده ها و زمان های واکنش، کاتالیست گرافن اکسید عامل دارشده با کمپلکس مس-متفورمین، به عنوان کاتالیستی موثر و کارآمد در تهیه

تعیین مس در نمونه ها با تجزیه عنصری ICP-OES برای محاسبه میزان مس کمپلکس شده بر سطح گرافن اکسید برای کاتالیست استفاده نشده و کاتالیست استفاده شده پس از شش بار در واکنش مدل از آنالیز طیف سنج پلاسمای جفت شده القایی ICP-OES استفاده شد. براین پایه، مقدار مس تثبیت شده در استفاده نشده و کاتالیست استفاده شده پس از شش بار به ترتیب ۶/۰۲ و ۵/۸۳ درصد وزنی محاسبه شد.

روش تهیه مشتق های تتراهیدروپیریدین برای دستیابی به شرایط استاندارد و بهینه، واکنش بنزآلدهید، آنیلین و اتیل استواتات، در حضور کاتالیست به عنوان واکنش مدل انتخاب شد و در شرایط متفاوت مورد بررسی قرار گرفت (جدول ۱). در ابتدا، تاثیر مقادیر متفاوت کاتالیست بر بازده واکنش بررسی شد (ردیف های ۵-۱). واکنش در غیاب کاتالیست پس از ۳ ساعت، انجام نشد. ولی با حضور کاتالیست، بازده واکنش افزایش و زمان واکنش کاهش یافت. بیشترین بازده در حضور ۱۵ مول درصد

جدول ۱ بهینه‌سازی شرایط واکنش<sup>\*</sup> برای تهیه مشتق

تتراهیدروپیریدین 4a

ردیف	شرایط واکنش	مقدار کاتالیست (مول درصد)	زمان (دقیقه)	درصد بازده **
۱	اتانول و بازروانی	—	۱۸۰	—
۲	اتانول و بازروانی	۵	۶۰	۵۹
۳	اتانول و بازروانی	۱۰	۲۰	۸۱
۴	اتانول و بازروانی	۱۵	۲۰	۹۵
۵	اتانول و بازروانی	۲۰	۲۰	۹۶
۶	دمای محیط و اتانول	۱۵	۳۰	۵۱
۷	۵۰°C و اتانول	۱۵	۲۰	۷۰
۸	۶۵°C و اتانول	۱۵	۲۰	۹۵
۹	۸۰°C و بدون حلال	۱۵	۳۰	۴۶
۱۰	۱۰۰°C و بدون حلال	۱۵	۳۰	۶۸
۱۱	آب و بازروانی	۱۵	۲۰	۷۸
۱۲	متانول و بازروانی	۱۵	۲۰	۶۹
۱۳	استونیتریل و بازروانی	۱۵	۲۰	۴۴
۱۴	دی‌کلرومتان و بازروانی	۱۵	۲۰	ناقیز

\* شرایط واکنش: بنزاڈهید (۲ میلی‌مول)، آتیلین (۲ میلی‌مول) و اتیل استوانت (۱ میلی‌مول) در حضور مقداری متفاوت کاتالیست و دمای متفاوت  
\*\* بازده جداسازی شده

تتراهیدروپیریدین‌ها از راه واکنش تک ظرف و سه جزوی آریل آلدھیدها، آریل آمین‌ها و اتیل استوانت و در حضور حلال اتانول و شرایط بازروانی گزارش شد. برای گسترش روش ارایه شده، با شرایط بهینه، مشتق‌های متفاوتی از تتراهیدروپیریدین‌ها تهیه شد. همان گونه که در جدول ۲ قابل مشاهده است، مشتق‌های گوناگون آریل آلدھید و آریل آمین حاوی گروه‌های استخلافی متفاوت الکترون‌کشندۀ و الکترون‌دهنده با اتیل استوانت واکنش داده شد و فراورده‌های متناظر با بازده مناسب به دست آمد. گروه‌های استخلافی الکترون‌دهنده و همچنین، الکترون‌کشندۀ شامل متیل، متوكسی، سیانو، کلورو، برمو، یدو و نیترو در این واکنش‌ها آزمایش شدند که در همه موارد نتیجه‌های قابل قبولی به دست آمد.

#### سازوکار پیشنهادی

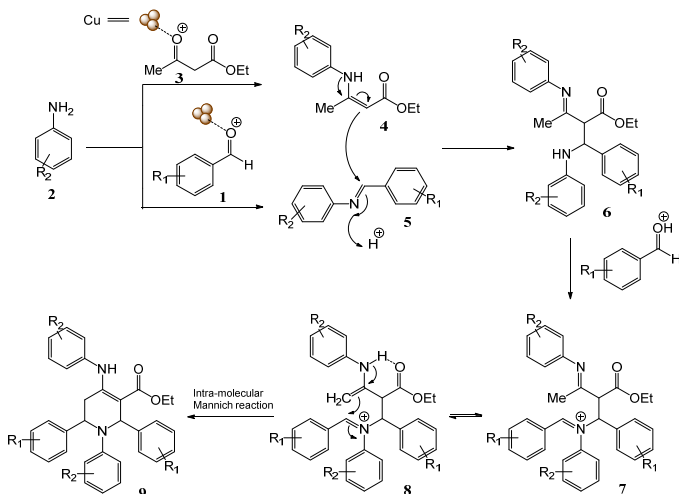
در این واکنش، ابتدا آریل آمین (۲) با اتیل استوانت فعال شده (۳) با کاتالیست واکنش می‌دهد و بتانامین (۴) ایجاد می‌شود (شکل ۸). همچنین، یک مولکول دیگر از آریل آمین با آریل آلدھید (۱) فعال شده با کاتالیست نیز واکنش داده و با حذف یک مولکول آب، ایمین (۵) تولید می‌شود. در مرحله بعد بتانامین (۴) و ایمین (۵) از راه واکنش مانیخ بین مولکولی، ترکیب حدواسطی (۶) را ایجاد می‌کنند، در ادامه از واکنش بین این حدواسط (۶) با یک مولکول دیگر از آریل آلدھید و با از دست دادن یک مولکول آب، حدواسط دیگری (۷) ایجاد می‌شود. این حدواسط (۷) در حضور کاتالیست به توتومریسم (۸) و سپس با واکنش مانیخ درون مولکولی با از دست دادن یک پروتون، فراورده تتراهیدروپیریدین (۹) ایجاد می‌شود.

جدول ۲ تهیه مشتق‌های تراهیدروپیریدین در حضور کاتالیست گرافن اکسید عامل دارشده با کمپلکس مس-متفورمین

مرجع	نقطه ذوب (°C) گزارش شده	نقطه ذوب (°C) بدست آمده*	درصد بازده*	زمان (دقیقه)	فراورده	R <sub>2</sub>	R <sub>1</sub>	ردیف
۳۸	۱۷۵-۱۷۶	۱۷۱-۱۷۲	۹۵	۲۰	4a	C <sub>6</sub> H <sub>5</sub>	C <sub>6</sub> H <sub>5</sub>	۱
۳۹	۱۷۰-۱۷۲	۱۷۰-۱۷۲	۹۴	۱۵	4b	3-IC <sub>6</sub> H <sub>4</sub>	C <sub>6</sub> H <sub>5</sub>	۲
۴۰	۱۶۵-۱۶۷	۱۶۴-۱۶۶	۹۱	۲۰	4c	C <sub>6</sub> H <sub>5</sub>	4-CH <sub>3</sub> OC <sub>6</sub> H <sub>4</sub>	۳
۳۹	۱۸۴-۱۸۶	۱۸۴-۱۸۶	۸۸	۳۰	4d	4-BrC <sub>6</sub> H <sub>4</sub>	4-CH <sub>3</sub> OC <sub>6</sub> H <sub>4</sub>	۴
۴۱	۲۲۸-۲۳۰	۲۲۶-۲۲۸	۹۶	۱۰	4e	C <sub>6</sub> H <sub>5</sub>	4-ClC <sub>6</sub> H <sub>4</sub>	۵
۴۲	۲۲۷-۲۲۹	۲۲۴-۲۲۷	۹۶	۱۰	4f	4-CH <sub>3</sub> C <sub>6</sub> H <sub>4</sub>	4-ClC <sub>6</sub> H <sub>4</sub>	۶
۳۸	۲۲۷-۲۲۹	۲۲۷-۲۲۹	۹۰	۳۰	4g	C <sub>6</sub> H <sub>5</sub>	4-CH <sub>3</sub> C <sub>6</sub> H <sub>4</sub>	۷
۴۳	۲۱۹-۲۲۲	۲۲۰-۲۲۲	۸۶	۳۰	4h	4-CH <sub>3</sub> OC <sub>6</sub> H <sub>4</sub>	4-CH <sub>3</sub> C <sub>6</sub> H <sub>4</sub>	۸
۴۰	۲۲۰-۲۲۳	۲۱۸-۲۲۰	۹۴	۱۰	4i	4-BrC <sub>6</sub> H <sub>4</sub>	4-CNC <sub>6</sub> H <sub>4</sub>	۹
۳۸	۲۴۷-۲۵۰	۲۴۵-۲۴۸	۹۳	۱۰	4j	C <sub>6</sub> H <sub>5</sub>	4-NO <sub>2</sub> C <sub>6</sub> H <sub>4</sub>	۱۰

\* شرایط واکنش: آریل آلدهید (۲ میلی‌مول)، آریل آمین (۱ میلی‌مول)، استواتات (۱ میلی‌مول)، کاتالیست (۱۵ مول درصد) در بازویانی اتانول

\*\* بازده جداسازی شده

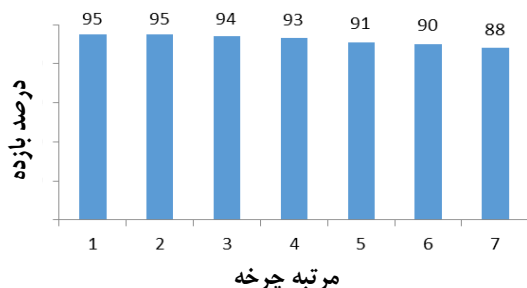


شکل ۸ طرحواره سازوکار واکنش تهیه مشتق‌های تراهیدروپیریدین در حضور کاتالیست گرافن اکسید عامل دارشده

گریزانه جدا و برای حذف فراوردها، با استون شسته شد و در آون خلاً برای استفاده دوباره در واکنش‌های بعدی خشک شد. نتیجه‌ها نشان داد، کاتالیست بازیابی را می‌توان برای بیشتر از شش بار مورداستفاده قرار داد، بدون اینکه تغییر چشمگیری در فعالیت آن مشاهده شود (شکل ۹).

#### بازیابی کاتالیست

قابلیت بازیابی دوباره کاتالیست نیز بررسی شد. برای دستیابی به این هدف، واکنش بنزآلدهید، آنیلین و اتیل استواتات در حضور کاتالیست گرافن اکسید عامل دارشده با مس-متفورمین انجام شد. پس از پایان واکنش، کاتالیست با



شکل ۹ بازیابی کاتالیست پس از ۶ بار استفاده

مقایسه کاتالیست با کاتالیست‌های گزارش شده برای نشان دادن قابلیت و بهره‌وری کاتالیست و روش ارایه شده، اثرات کاتالیست تهیه شده در تهیه مشتق ۴a با دیگر روش‌ها و کاتالیست‌های گزارش شده مقایسه شد (جدول ۳). همان‌طور که در جدول ۳ مشاهده می‌شود، کاتالیست گرافن اکسید عامل‌دار شده، واکنش تهیه تراهیدروپیریدین را در زمان‌های بسیار کمتر و با بازده بیشتری نسبت به سایر روش‌های گزارش شده انجام می‌دهد.

جدول ۳ مقایسه قابلیت کاتالیست گرافن اکسید عامل‌دار شده با کمپلکس مس و دیگر کاتالیست‌های ارایه شده

ردیف	کاتالیست	شرایط واکنش	زمان (دقیقه)	درصد بازده*	مرجع
۱	مایع یونی	۱۰۰ °C و بدون حلال	۵۲	۸۷	[۴۴]
۲	نانومگنت عامل‌دار شده با پلی فسفریک اسید	بازروانی و اتانول	۲۷۰	۹۱	[۴۵]
۳	نیترات بیسموت	دمای اتاق و اتانول	۳۰	۷۹	[۴۶]
۴	ید	دمای اتاق و متانول	۴۸۰	۸۱	[۳۶]
۵	گرافن اکسید عامل‌دار شده با کمپلکس مس	بازروانی و اتانول	۲۰	۹۵	این پژوهش**

\* بازده جداسازی شده

\*\* شرایط واکنش: بنزآلدهید، آبینین و اتيل استواتانت

روش است. همچنین، مهم‌ترین ویژگی این پژوهش، جداسازی آسان کاتالیست و استفاده چندباره آن در واکنش‌های بعدی بدون کاهش چشمگیر در فعالیت کاتالیستی است که از آن می‌توان در دیگر واکنش‌های شیمی استفاده کرد.

**سپاسگزاری**  
از حمایت‌های مالی معاونت پژوهشی و فناوری دانشگاه آزاد اسلامی واحد قشم صمیمانه قدردانی می‌شود.

## نتیجه‌گیری

در این مقاله، روشی آسان و کارآمد برای تهیه مشتق‌های تراهیدروپیریدین‌ها با واکنش تک ظرف و سه جزئی آریل آلدھیده، آریل آمین‌ها و اتيل استواتانت و در شرایط گرمایی و در حضور حلال اتانول به عنوان حلال سبز و سازگار با محیط‌زیست و کاتالیست جدید گرافن اکسید عامل‌دار شده با کمپلکس مس-متغورمین گزارش شد. شرایط ملائم واکنش، کاتالیست زیست‌تخریب‌پذیر، بازده بالا و جداسازی آسان فراروردهای واکنش، زمان کم واکنش از ویژگی‌های بارز این

## مراجع

- [1] Stankovich, S.; Dikin, D.A.; Dommett, G.H.; Kohlhaas, K.M.; Zimney, E.J.; Stach, E.A.; Ruoff, R.S.; *Nature*, 442, 282-286, 2006.
- [2] Novoselov, K.S.; Geim, A.K.; Morozov, S.V.; Jiang, D.; Zhang, Y.; Dubonos, S.V.; Grigorieva, I.V.; Firsov, A.A.; *Science* 306, 666–669, 2004.
- [3] Fan, Y.; Wang, L.; Li, J.; Li, J.; Sun, S.; Chen, F.; Jiang, W.; *Carbon* 48, 1743-1749, 2010.
- [4] Tombros, N.; Jozsa, C.; Popinciuc, M.; Jonkman, H.T.; Van Wees, B.J.; *Nature*, 448, 571-574, 2007.
- [5] Balandin, A.A.; Ghosh, S.; Bao, W.; Calizo, I.; Teweldebrhan, D.; Miao, F.; Lau, C.N.; *Nano Lett.* 8, 902-907, 2008.
- [6] Marcano, D.C.; Kosynkin, D.V.; Berlin, J.M.; Sinitskii, A.; Sun, Z.; Slesarev, A.; Alemany, L.B.; Lu, W.; Tour, J.M.; *ACS Nano* 4, 4806-4814, 2010.
- [7] Keyhaniyan, M.; Shiri, A.; Eshghi, H.; Khojastehnezhad, A.; *New J. Chem.* 42, 19433-19441, 2018.
- [8] Khojastehnezhad, A.; Bakavoli, M.; Javid, A.; Khakzad Siuki, M.M.; Moeinpour, F.; *Catal. Lett.* 149, 713-722, 2019.
- [9] Ghadamyari, Z.; Shiri, A.; Khojastehnezhad, A.; Seyed, S.M.; *Appl. Organomet. Chem.* 33(9), e5091, 2019.
- [10] Ataie, F.; Davoodnia, A.; Khojastehnezhad, A.; *Polycycl. Aromat. Comp.* 41(4), 781-794, 2021.
- [11] Rohaniyan, M.; Davoodnia, A.; Khojastehnezhad, A.; Beyramabadi, S.A.; *Eurasian Chem. Commun.* 2, 329-339, 2020.
- [12] Ghadamyari, Z.; Khojastehnezhad, A.; Seyed, S.M.; Shiri, A.; *ChemistrySelect* 4, 10920-10927, 2019.
- [13] Khojastehnezhad, A.; Bakavoli, M.; Javid, A.; Khakzad Siuki, M.M.; Shahidzadeh, M.; *Res. Chem. Intermed.* 45, 4473-4485, 2019.
- [14] Hoseini, Z.; Davoodnia, A.; Khojastehnezhad, A.; Pordel, M.; *Eurasian Chem. Commun.* 2, 398-409, 2020.
- [15] DeWitt, S.H.; Czarnik, A.W.; *Acc. Chem. Res.* 29(3), 114-122, 1996.
- [16] Misra, M.; Pandey, S.K.; Pandey, V.P.; Pandey, J.; Tripathi, R.; Tripathi, R.P.; *Bioorg. Med. Chem.* 17, 625-633, 2009.
- [17] Ho, B.; Crider, A.M.; Stables, J.P.; *Eur. J. Med. Chem.* 36, 265-286, 2001.
- [18] Zhou, Y.; Gregor, V.E.; Ayida, B.K.; Winters, G.C.; Sun, Z.; Murphy, D.; Haley, G.; Bailey, D.; Froelich, J.M.; Fish, S.; Webber, S.E.; *Bioorg. Med. Chem. Lett.* 17, 1206-1210, 2007.
- [19] Petit, S.; Nallet, J.P.; Guillard, M.; Dreux, J.; Chermat, R.; Poncelet, M.; Bulach, C.; *Eur. J. Med. Chem.* 26, 19-32, 1991.
- [20] Lebold, T.P.; Leduc, A.B.; Kerr, M.A.; *Organic Lett.* 11, 3770-3772, 2009.
- [21] Murty, M.S.R.; Ram, K.R.; Yadav, J.S.; *Tetrahedron Lett.* 49, 1141-1145, 2008.
- [22] Davis, F.A.; Chao, B.; Rao, A.; *Org. Lett.* 3, 3169-3171, 2001.
- [23] Petrović Z.D.; Simijonović D.; Đorović J.; Milovanović V.; Marković Z.; Petrović V.P.; *ChemistrySelect* 2, 11187-11194, 2017.
- [24] Khan, M.M.; Khan Saigal, S.; Sahoo, S.C.; *ChemistrySelect* 3, 1371-1380, 2018.
- [25] Mohammadi, S.; Abbasi, M.; *Res. Chem. Intermed.* 41, 8877-8890, 2015.
- [26] Babaei, E.; Mirjalili, B.B.F.; *Res. Chem. Intermed.* 44, 3493-3505, 2018.
- [27] Bamoniri, A.; Mirjalili, B.B.F.; Tarazian, R.; *J. Chem. Sci.* 127, 885-895, 2015.
- [28] Safaei-Ghomí, J.; Ziarati, A.; *J. Iran. Chem. Soc.* 10, 135-139, 2013.
- [29] Maleki, A.; Jafari, A.A.; Yousefi, S.; *J. Iran. Chem. Soc.* 14, 1801-1813, 2017.
- [30] Sobhani-Nasab, A.; Ziarati, A.; Rahimi-Nasrabadi, M.; *Res. Chem. Intermed.* 43, 6155-6165, 2017.
- [31] Wang, H.J.; Mo L, P.; Zhang, Z.H.; *ACS Comb. Sci.* 13, 181-185, 2011.
- [32] Eshghi, H.; Khojastehnezhad, A.; Moeinpour, F.; Rezaeian, S.; Bakavoli, M.; *Res. Chem. Intermed.* 45, 4473-4485, 2019.

- Teymouri, M.; Rostami, A.; Haghbeen, K.; Tetrahedron 71, 436-444, 2015.
- [33] Gupta, A.; Kaur, R.; Singh, D.; Kapoor, K.K.; Tetrahedron Lett. 58, 2583-2587, 2017.
- [34] Hummers, Jr.; William, S.; Offeman, R.E.; J. Am. Chem. Soc. 80, 1339-1339, 1958.
- [35] Raoufi, F.; Monajjemi, M.; Aghaei, H.; Zare, K.; Ghaedi, M.; ChemistrySelect 5, 211-217, 2020.
- [36] Khan, A.T.; Khan, M.M.; Bannuru, K.K.R.; Tetrahedron 66, 7762-7772, 2010.
- [37] Betancourt-Galindo, R.; Reyes-Rodriguez, P.Y.; Puente-Urbina, B.A.; Avila-Orta, C.A.; Rodríguez-Fernández, O.S.; Cadenas-Pliego, G.; Lira-Saldivar, R.H.; García-Cerda, L.A.; J. Nanomater. 2014, 2014.
- [38] Wang, H.J.; Mo, L.P.; Zhang, Z.H.; ACS Comb. Sci. 13, 181-185, 2011.
- [39] Eshghi, H.; Khojastehnezhad, A.; Moeinpour, F.; Bakavoli, M.; Seyedi, S.M.; Abbasi, M.; RSC. Adv. 4, 39782-39789, 2014.
- [40] Zhou, Q.; Wan, Y.; Zhang, X.; Zhang, L.; Zou, H.; Cui, H.; Zhou, S.I.; Wang, H.; Wu, H.; Tetrahedron 71, 7070-7072, 2015.
- [41] Mukhopadhyay, C.; Rana, S.; Butcher, R.J.; Schmiedekamp, A.M.; Tetrahedron Lett. 52, 5835-5840, 2011.
- [42] Ramachandran, R.; Jayanthi, S.; Jeong, Y.T.; Tetrahedron 68, 363-369, 2012.
- [43] Aboonajmi, J.; Mousavi, M.R.; Maghsoodlou, M.T.; Hazeri, N.; Masoumnia, A.; Res. Chem. Intermed. 41, 1925-1934, 2015.
- [44] Shaterian, H.R.; Azizi, K.; J. Mol. Liquids 180, 187-191, 2013.
- [45] Rahimizadeh, M.; Seyedi, S.M.; Abbasi, M.; Eshghi, H.; Khojastehnezhad, A.; Bakavoli, M.; J. Iran. Chem. Soc. 12, 839-844, 2015.
- [46] Brahmachari, G.; Das, S.; Tetrahedron Lett. 53, 1479-1484, 2012.

## Preparation, characterization of graphene oxide nano catalyst functionalized copper-metformin complex and investigation of its catalytic activity in synthesis of tetrahydropyridine derivatives in mild condition

Melika Eftekhar

Assistant Prof. of Organic Chemistry, Department of Chemistry, Islamic Azad University Qeshm Branch, Qeshm, Iran.

**Abstract:** In this research, at first, the graphene oxide sheets were prepared by the Hummers method and in continuation metformin molecule was linked to the edges of graphene oxide through the nucleophilic reaction of amine moieties of metformin with carbonyl groups of graphene oxide by covalent bonding, followed by coordination copper metal on nitrogen atoms of metformin and formation of graphene oxide copper-metformin complex. The prepared nanocatalyst was well characterized by various techniques such as FT-IR, XRD, TEM, EDS, TGA, and ICP-OES. All analyses confirmed the successful immobilization of this complex on the surface of GO. The synthesized catalyst was applied to evaluate its performance in the synthesis of tetrahydropyridine derivatives by the reaction of aryl aldehydes, aryl amines, and ethyl acetoacetate. This method exhibited good catalytic efficiency with a high yield of products. Moreover, the suggested catalyst could be recycled for several times consecutive cycles without a noticeable decrease in its catalytic activity or metal leaching.

**Keywords:** Graphene oxide, Copper, Complex, Tetrahydropyridine, Heterogeneous catalysis